

(57) $\alpha\text{-CaCr}_2\text{O}_4$ 共存下の高 Cr 溶鋼の酸素溶解度

新日本製鐵(株) 基礎研 中村泰、内村光雄

1 緒言

Cr_2O_3 または $\text{MgO}\cdot\text{Cr}_2\text{O}_3$ (スピネル) 共存下の溶融 Fe-Cr 合金の酸素溶解度に関するすでに報告してきたが^{1), 2)}, 引続き $\alpha\text{-CaCr}_2\text{O}_4$ (テトラゴナル) 共存の場合の平衡酸素濃度を測定し, 平衡関係式を求めるとして報告する。

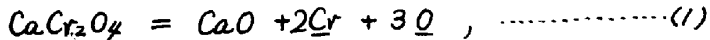
2 実験

実験装置, 操作は前報²⁾とまことに同一である。おつぽは支持用 MgO おつぽの内壁と $\alpha\text{-CaCr}_2\text{O}_4$ 粉末でライニングしたものを使用した。ライニングの厚さは, 焼結後で約 2 mm 程度である。 $\alpha\text{-CaCr}_2\text{O}_4$ は試薬級の CaO , Cr_2O_3 粉末から合成したものである。なお, 実験中は CaCr_2O_4 が MgO で汚染されるのを防止するため, 支持するつぽ内壁と CaCr_2O_4 との間に厚さ 0.3 mm の CaO 粉末が塗布してある。

3 結果と検討

(a) 図 1 に Cr と O 濃度の関係を示した。 $\text{MgO}\cdot\text{Cr}_2\text{O}_3$ の場合と比較すると, 全般に酸素溶解度は低くなるが, Cr 濃度変化とともに O の挙動は非常に類似していることが分る。

(b) CaCr_2O_4 が溶解する反応とその平衡定数は,



$$\log K \cong \log [\% \text{Cr}]^2 [\% \text{O}]^3 + 3 \log f_0, \quad (2)$$

ここで, f_0 は酸素の活量係数である。 f_0 は前報²⁾にしたがって Fe-Cr 合金では次のようになる。

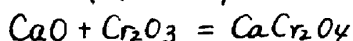
$$\log f_0 = g_{\text{O}}^{\text{Cr}} [\% \text{Cr}]^2 + e_{\text{O}}^{\text{Cr}} [\% \text{Cr}] \quad (3)$$

g_{O}^{Cr} , e_{O}^{Cr} の値として前報の値²⁾を採用し, 図 1 に示した Cr , O の分析値から式(2)の右辺が計算できる。その結果を図 2 に示した。各温度ではほぼ一定の値を示すことが分る。したがって, これらの平均値から式(2)にしたがって $\log K$ の値が求まる。

(c) 図 3 に $\log K$ と温度との関係を示した。これより式(1)の反応の自由エネルギー変化 (ΔG , cal/mol) は次のようになる。

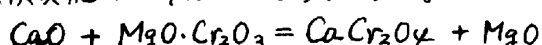
$$\Delta G = 195,000 - 80.9 T \quad (4)$$

(d) $\text{Cr}_2\text{O}_3 = 2\text{Cr} + 3\text{O}$ の ΔG の値¹⁾と組み合せると, CaCr_2O_4 の合成反応の ΔG は次のようになる。



$$\Delta G = +1,150 - 5.0 T \quad (5)$$

(e) $\text{MgO}\cdot\text{Cr}_2\text{O}_3$ の合成反応の ΔG の値²⁾と式(5)を組み合せると, 交換反応の ΔG は次のようになる。



$$\Delta G = +1,050 \pm 6.2 T \quad (6)$$

文献 1) 中村, 内村, 他; Proc. ICSTS (1971) P. 456

2) 中村, 内村; 日ソ・シンポジウム(第3回) '71

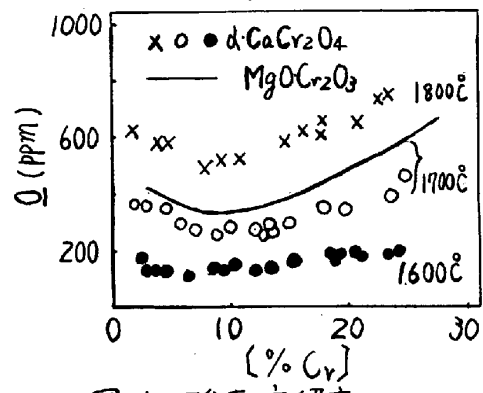
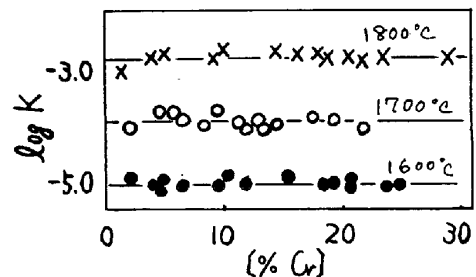
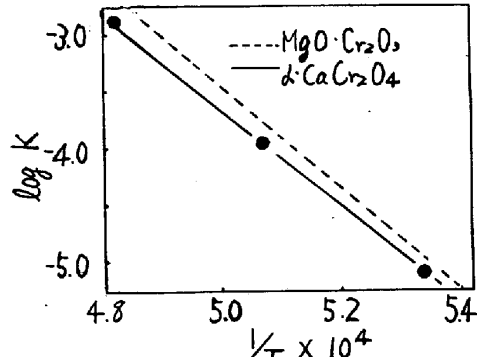


図 1 酸素溶解度

図 2 $\log K$ と Cr との関係図 3 $\log K$ と 温度との関係